

RLC非周期放电电路的一点性质

电脑系 王少雄

提 要

本文证明RLC非周期放电电路的参数具有时间常数 $r_c \cdot C = L/r_L$ 的特性(式中 $r_c + r_L = R$)，并用以解释这种电路为什么不能产生振荡。

具有初始电压 U_0 的电容器 C 通过RL串联电路放电的电路图如图一所示。

当电路参数满足 $R \geq 2\sqrt{L/C}$ 时，放电的电容器的电压从 U_0 一直降到零，不发生电容器的再充电，理论电工学称这种放电为电容器的非周期放电。在图示设定的正方向下，整个非周期放电过程有： $u_C > 0$ ； $i < 0$ ； $u_R < 0$ 。

时间常数是研究过渡过程的一个重要物理量。现在我们证明，对于RLC非周期放电电路，其电阻 R 一定可以分为两部份 r_c 和 r_L （图一中G点为其分界点），使得 r_c 和 C 的时间常数 $r_c \cdot C$ 等于 r_L 和 L 的时间常数 L/r_L 。也就是说，对于RLC非周期放电电路，下列方程有实数解。

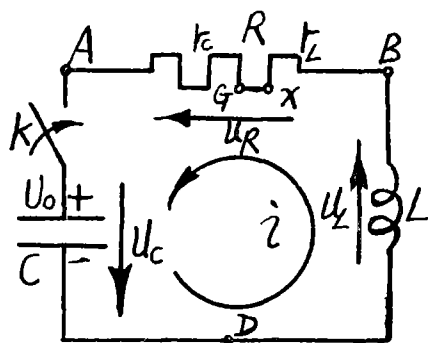


图 一

$$\left. \begin{aligned} R &= r_c + r_L \\ r_c \cdot C &= L/r_L \end{aligned} \right\}$$

此方程组的解为：

$$r_c = \frac{R}{2} + \sqrt{\frac{R^2}{4} - \frac{L}{C}}$$

$$r_L = \frac{R}{2} - \sqrt{\frac{R^2}{4} - \frac{L}{C}}$$

对于非周期放电情况，因为 $R \geq 2\sqrt{\frac{L}{C}}$ ，故方程组的解 r_c 和 r_L 均为实数。特别是 $R = 2\sqrt{\frac{L}{C}}$ 的临界情况， $r_c = r_L = \frac{R}{2}$ 。而对于周期放电情况，因 $R < 2\sqrt{\frac{L}{C}}$ ，方程组无实数解，故周期放电电路没有这种特性。

下面我们来讨论非周期放电电路的这种性质（ $r_c \cdot C = L/r_L$ ）和这种电路不能产生周期放电有什么联系。为此我们先来讨论一下非周期放电的能量过程。电容器放电的开始阶段，电

容C释放的电场能量一部份供电阻R上的损耗,另一部份用以建立电感L的磁场。此阶段电感电压 $u_L < 0$,它反映电感L吸收能量,用以建立并增强磁场。当放电的电流达到最大值时,电感储能最大,此时 $u_L = 0$ (图一中的B点和D点此刻等电位)。放电的后阶段,电感的磁场将不断释能,电压 $u_L > 0$,而电容C仍将继续释放电场能量,二者全部消耗于电阻上转变为热能。此后阶段电阻R上的压降 $u_{RD} = u_C + u_L = -u_R$,在R上可以找到对应的一个X点,使得X点与D点等电位 $u_{XD} = 0$ (参看图一),并有 $u_C = u_{AX}$, $u_L = u_{XB}$,也就是说,A点与X点之间电阻的耗能由电容器释能提供,而X点与B点之间电阻的耗能则由电感释能提供。显然,如果X点发生移动,那就意味着电场释能和磁场释能比例的改变。

因为 $u_C = u_{AX}$, $u_L = u_{XB}$,所以 $f(t) = \frac{u_C(t)}{u_L(t)}$ 随时间的变化情况就反映了X点的移动方向。

由理论电工学知道,放电过程中电容电压 u_C 的微分方程为:

$$\frac{d^2 u_C}{dt^2} + \frac{R}{L} \frac{du_C}{dt} + \frac{1}{LC} u_C = 0$$

对于非周期放电情况 $R > 2\sqrt{\frac{L}{C}}$,微分方程的解:

$$u_C = \frac{U_0}{p_2 - p_1} (p_2 e^{p_1 t} - p_1 e^{p_2 t})$$

$$u_L = L \frac{di}{dt} = L \cdot C \frac{d^2 u_C}{dt^2} = \frac{U_0}{p_2 - p_1} (p_1 e^{p_1 t} - p_2 e^{p_2 t})$$

$$\text{式中: } p_1 = -\frac{R}{2L} + \sqrt{\frac{R^2}{4L^2} - \frac{1}{LC}}$$

$$p_2 = -\frac{R}{2L} - \sqrt{\frac{R^2}{4L^2} - \frac{1}{LC}}$$

并有 $p_2 < p_1 < 0$

$$\text{因此, } f(t) = \frac{u_C(t)}{u_L(t)} = \frac{p_2 e^{p_1 t} - p_1 e^{p_2 t}}{p_1 e^{p_1 t} - p_2 e^{p_2 t}}$$

经运算可得

$$\frac{df(t)}{dt} = \frac{e^{p_1 t} \cdot e^{p_2 t}}{(p_1 e^{p_1 t} - p_2 e^{p_2 t})^2} \cdot (p_1 - p_2)^2 (p_1 + p_2)$$

$$\text{因为 } \frac{e^{p_1 t} \cdot e^{p_2 t}}{(p_1 e^{p_1 t} - p_2 e^{p_2 t})^2} \cdot (p_1 - p_2)^2 > 0, p_1 + p_2 < 0$$

所以 $\frac{df(t)}{dt} < 0$, X点不断地由B点向A点的方向移动,电阻耗能中由磁场释能提

供的那部份的比例不断增加。

对于非周期放电的临界情况 $R = 2\sqrt{\frac{L}{C}}$ 。微分方程的解:

$$u_C = U_0 (1 - pt) e^{pt}$$

$$u_L = -U_0 (1 + pt) e^{pt}$$

$$\text{式中 } p = -\frac{R}{2L} < 0$$

$$\text{因此 } f(t) = \frac{u_C(t)}{u_L(t)} = -\frac{U_0(1-pt)e^{pt}}{U_0(1+pt)e^{pt}} = \frac{pt-1}{pt+1}$$

经运算可得:

$$\frac{df(t)}{dt} = \frac{2p}{(pt+1)^2} < 0, \text{ 结论和非周期放电时相同。}$$

上面证明了电阻耗能中由磁场释能提供部份的比例(相对于由电场释能提供的部份)随着时间的推移而增长,它体现为与 D 点等电位的 X 点不断地由 B 向 A 的方向移动。我们知道,电容 C 的反向充电是电路产生周期放电过程中必然要出现的现象,而反向充电的开始瞬间, $u_C = 0$, $i \neq 0$, X 点应该到达 A 点,电阻 R 上的能耗此时应全部由电感释能提供。也就是说, X 点移动到 A 点是周期放电的必要条件。反之,如果 X 点移不到 A 点,则电路必然不能产生周期放电。下面我们来证明,对于非周期放电电路, X 点的移动极限点是 G 点, X 点达不到 A 点。

对于非周期放电电路 $R > 2\sqrt{\frac{L}{C}}$

$$\lim_{t \rightarrow \infty} \frac{u_C(t)}{u_L(t)} = \lim_{t \rightarrow \infty} \frac{p_2 e^{p_1 t} - p_1 e^{p_2 t}}{p_1 e^{p_1 t} - p_2 e^{p_2 t}}$$

分子分母同时除以 $e^{p_1 t}$, 并注意 $\lim_{t \rightarrow \infty} e^{(p_2 - p_1)t} = 0$

$$\text{则有: } \lim_{t \rightarrow \infty} \frac{u_C(t)}{u_L(t)} = \lim_{t \rightarrow \infty} \frac{p_2 - p_1 e^{(p_2 - p_1)t}}{p_1 - p_2 e^{(p_2 - p_1)t}} = \frac{p_2}{p_1} \text{ 分子分母均乘以 } -L \text{ 则}$$

$$\lim_{t \rightarrow \infty} \frac{u_C(t)}{u_L(t)} = \frac{\frac{R}{2} + \sqrt{\frac{R^2}{4} - \frac{L}{C}}}{\frac{R}{2} - \sqrt{\frac{R^2}{4} - \frac{L}{C}}} = \frac{r_C}{r_L}$$

对于临界情况 $R = 2\sqrt{\frac{L}{C}}$

$$\lim_{t \rightarrow \infty} \frac{u_C(t)}{u_L(t)} = \lim_{t \rightarrow \infty} \frac{pt-1}{pt+1} = 1 = \frac{r_C}{r_L}$$

故 X 点的移动极限为 G 点。

上面的数学推导证明，G 点一方面具有使电路两边时间常数相等的性质，另一方面 G 点又是 X 点的移动极限。现在的问题是这两方面彼此有什么关系？G 点使电路两边时间常数相等的物理意义是什么？为此我们分析图二电路，假设某一瞬间 X 点移动到 G 点（上面已证明，X 点移动到 G 点是发生在时间无限长时，这里的分析只是一种设想），并设此瞬间电容电压为 u_{CG} ，回路电流为 i_g ，因为假设 X 点移动到 G 点，所以 $u_{CD} = 0$ ，此瞬间回路电流与电容电压应满足如下关系：

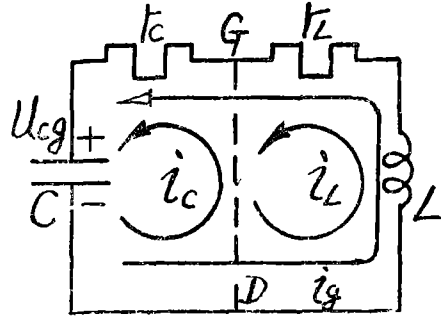


图 二

如果用一导线联接 GD 两点如图二所示，则电路可视为两个回路，它们的电流均为 i_g ，而两回路共同支路 GD 上的电流为零。因为两回路的时间常数相等 $r_c \cdot C = L/r_L$ ，故此两回路电流将一直相等并为：

$$i_c = i_g e^{-\frac{1}{r_c C} t} = i_g e^{-\frac{r_L}{L} t} = i_L$$

导线 GD 上永远不会有电流，导线 GD 的存在与否并不影响原电路的情况， u_{CD} 将永远为零，X 点不再移动。

由以上的分析可以看出，从时间常数相等 $r_c \cdot C = L/r_L$ 就可导出 X 点的移动越不过 G 点的结论，而由于 X 点越不过 G 点，则电容器不能产生反向充电，故这种放电电路决不能产生振荡。

参 考 文 献

- [1] 西安交通大学邱关源主编：“电路”，人民教育出版社，1978。
- [2] 俞大光编：“电工基础”，高等教育出版社，1965。
- [3] М. И. Конторович: Операционное исчисление N процессы В электрических цепях. Издательство «Наука», 1964.